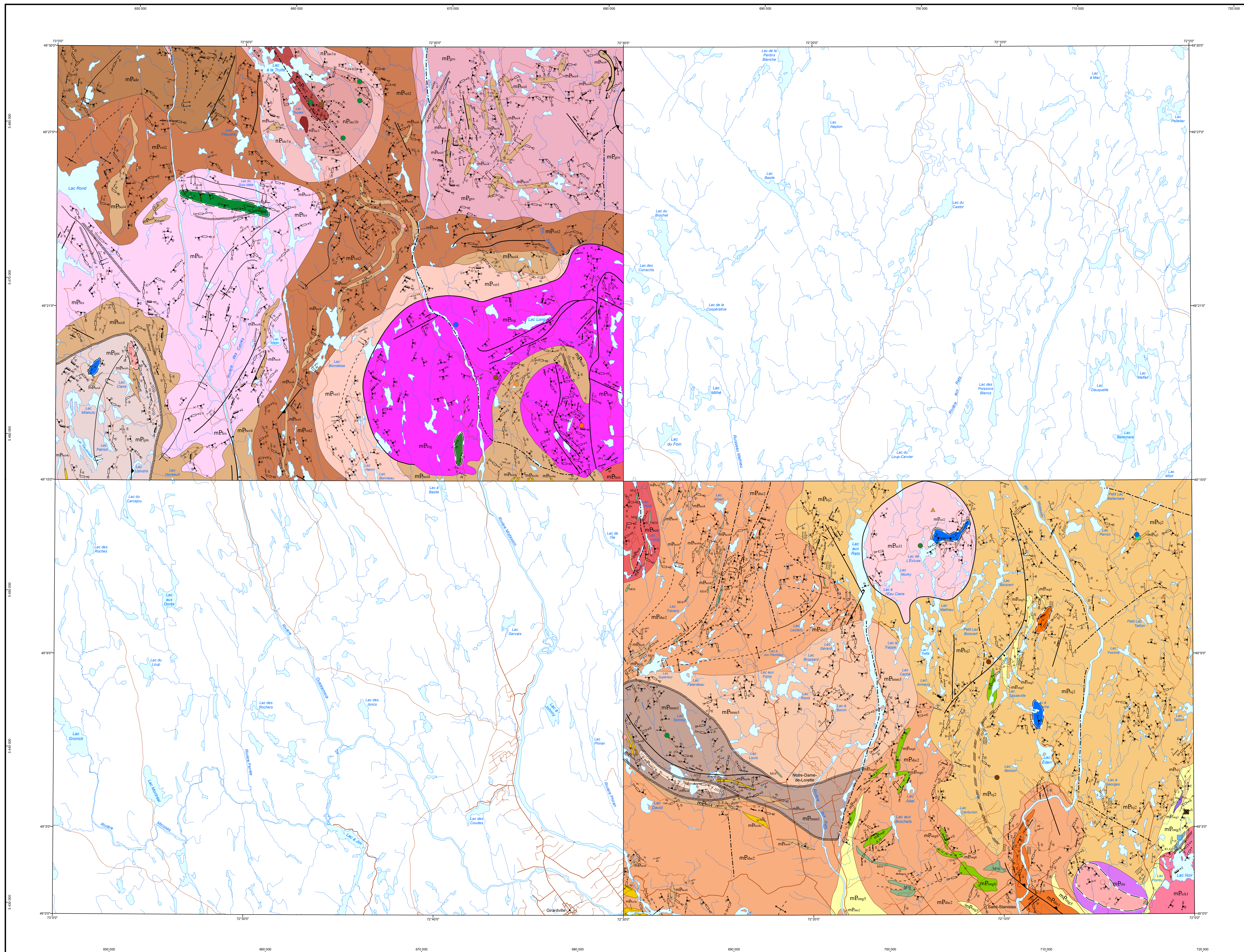


Géologie de la région de Dolbeau-Blondelas, Province de Grenville, région du Saguenay–Lac-Saint-Jean, Québec, Canada



LEGENDE STRATIGRAPHIQUE

PROVINCE DE GRENVILLE

ALLOCTONE

NEOPROTEROZOÏQUE

Intrusion alcaline de Crevier (857,5 à 82,9 Ma, Groulx et al., 2014, 2020)

- mE_{1a1} Syénite à feldspath alcalin
- mE_{1a2} Syénite, syénite foiduc, localement associée à de la carbonatite. Le tout coupé par des dykes syénitiques, pegmatitiques à syénitiques et magmatiques de néphéline et albite
- mE_{1a3} Syénite à gran grossier et néphélinite et syénite foiduc localement porphyroïde
- mE_{1a4} Syénite quartzifère à syénite, à gran grossier et porphyroïde, localement à néphéline

MÉSOPROTEROZOÏQUE

Intrusion de Rivière Noire

- mE_{1b1} Clinopyroxène à titanite-apatite et traces de feldspath potassique injectée par de la syénite, syénite à feldspath alcalin et syénite quartzifère

Suite intrusive de Tommy

- mE_{1c1} Margérite, syénite à hypersthène, monzonite quartzifère et granite à feldspath alcalin; quartzite monzocite et gabbro et enclaves de leucocrone
- mE_{1c2} Monzonite quartzifère et monzonite
- mE_{1c3} Gabbro, granite à feldspath alcalin, syénogranite, leucocrone, margérite, localement injecté par un dyke de carbonatite et de roche ultramafique

Batholite du Coin

- mE_{1d1} Monzonite quartzifère à hypersthène (margérite), syénogranite et granite à feldspath alcalin; faible proportion de monzonite quartzifère. Le tout injecté par des dykes de granite et de pegmatite granitique

Batholite de l'Écluse

- mE_{1e1} Gabbro à cordes Fe-Ti-P (margérite, apatite, ilménite) et pyroxène à sulfures (pyrite, chalcopyrite et pyrrhotite)
- mE_{1e2} Granite à feldspath alcalin, syénite quartzifère, syénite à feldspath alcalin, gabbro, leucocrone

Batholite de Long

- mE_{1f1} Granite à feldspath alcalin, margérite, syénite quartzifère, syénite à hypersthène et gabbro; quartzite monzocite de syénogranite, de monzonite quartzifère et de granodiorite

Suite intrusive de Jean-Marie

- mE_{1g1} Charnockite, granite à feldspath alcalin, syénogranite, syénite à hypersthène, gabbro et gabbro, enclaves de paragneiss et de granite granitique

Suite plutonique de la Vertu

- mE_{1h1} Syénite à hypersthène, syénite quartzifère, granite à feldspath alcalin et syénogranite; faible proportion de margérite et de charnockite
- mE_{1h2} Margérite et granite à feldspath alcalin; faible proportion de syénite quartzifère, de syénite à hypersthène et de syénogranite

Suite intrusive de Sainte-Hedwige (1917 à 138 Ma, Pappavou, 2019)

- mE_{1i1} Syénite quartzifère, margérite, syénogranite, granite à feldspath alcalin, gabbro, enclaves de paragneiss et de granite granitique
- mE_{1i2} Monzonite quartzifère, jétilite, monzonite quartzifère et gabbro, quartzite monzocite de syénogranite et de monzonite

Suite anorthotique de Lac-Saint-Jean (1169 à 1135 Ma, Higgins et van Breemen, 1996; Pappavou, 2020)

- mE_{1j1} Leucocrone, anorthosite; faible proportion de néosite
- mE_{1j2} Anorthosite, leucocrone, gabbro, monzocite, niveaux de roche ultramafique
- mE_{1j3} Gabbro à cordes de Fe-Ti-P, leucocrone corticoïde

Charnockite de Patrick Ouellet (1143 à 112 Ma, 1169 à 119 Ma, van Breemen, 2009; Pappavou, 2020)

- mE_{1k1} Charnockite, margérite et granite à leucocrone alcalin à gran grossier, porphyroïde à phénocrastaux de feldspath et rapakivi

Suite plutonique des Festes

- mE_{1l1} Granite à feldspath alcalin, margérite, gabbro, syénite, syénite quartzifère, syénite à hypersthène, monzonite quartzifère et charnockite. Présence d'enclaves de paragneiss et de granite granitique

Suite plutonique d'Asklard

- mE_{1m1} Charnockite, gabbro, néosite de granite, monzonite quartzifère et granite à feldspath alcalin; faible proportion de margérite et de syénite quartzifère

Suite plutonique de Groulx

- mE_{1n1} Granite à feldspath alcalin, syénogranite, monzonite quartzifère, monzonite, charnockite et gabbro, localement migmatite et injecté par du granite à feldspath alcalin; présence d'enclaves de paragneiss et de granite granitique

Séquence supracrustale de Saint-Onge (1162 à 118 Ma, Higgins et al., 2002)

- mE_{1o1} Roche mafique à grain fin à moyen, amphibolitose (basalte)
- mE_{1o2} Paragneiss quartzofeldspathique, quartzite et roche calcocalcique; faible proportion de marbre
- mE_{1o3} Skarn à wollastonite et roche calcocalcique; faible proportion de marbre

Complexe de Barrois (âge de déposition maximal 1224 à 118 Ma, Pappavou, 2020)

- mE_{1p1} Paragneiss quartzofeldspathique à biotite, localement migmatite, quartzite, migmatite et granite granitique
- mE_{1p2} Paragneiss à biotite et sillimanite et grenat à graphite, roche volcanique mafique amphibolitose, marbre, roche calcocalcique, granate et quartzite à graphite à grenat

LEGENDE LITHOLOGIQUE

MÉSOPROTEROZOÏQUE

- M16 Amphibolite dont l'origine est indéterminée
- R1Q2 Veine de quartz

ZONE FAVORABLE À L'EXPLORATION MINÉRIE

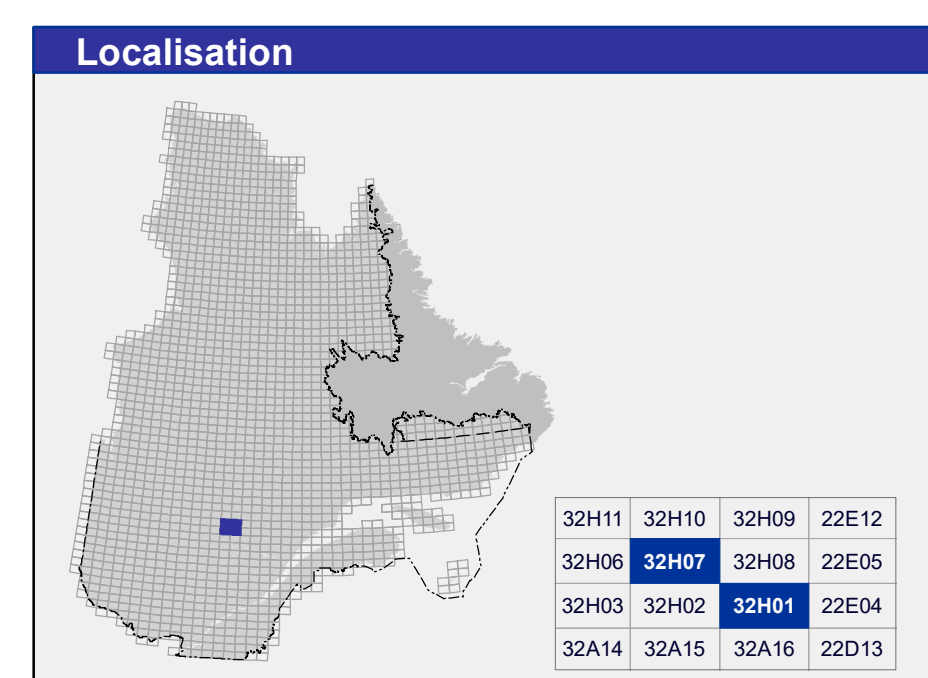
- Cuivre
- Éléments des terres rares
- Fer
- Niobium
- Tiame

INDICE ET GÎTE

- Cuivre, éléments des terres rares
- Fer, nickel
- Niobium, thorium
- Thiame, uranium
- Apatite
- Néphéline
- Péridote (Mg)
- Quartz (Si)
- ▲ Pierre architecturale
- ▲ Pierre concassée

Cette carte géologique en format PDF comporte des calques (ou couches) qui regroupent les divers éléments du document (zones géologiques, hydrographie, affaissements de glaces, etc.). Ces calques peuvent être affichés ou masqués dans la section « Calques » du « Viseur du navigateur » et/ou l'application Reader D.

Les symboles et abréviations utilisés sur cette carte sont décrits dans la publication DV 2014-06 du ministère de l'Énergie et des Ressources naturelles.



Métadonnées

Surface de référence géodésique :	Ellipsoïde GRS 80
Système de référence géodésique :	NAD 83 compatible avec le système mondial WGS 84
Projection cartographique :	Mercator transverse universelle (MTU), fuseau 18
Longitude d'origine :	72°30'
Latitude d'origine :	0°

Sources

Données	Organisme
Base de données pour l'aménagement du territoire (BDAT 100k)	Ministère de l'Énergie et des Ressources naturelles

Réalisation

Géologie :	Abdoul Moustak, Mohamed El Bourki (2021)
Références :	Berkey, C. P. (1923) - GM 1867 Ries, S. H. (1956) - DP 483
Assistance technique :	Dominique Piatek
Production :	Ministère de l'Énergie et des Ressources naturelles Direction générale de Géologie Québec
Diffusion :	Ministère de l'Énergie et des Ressources naturelles Direction de l'information géologique et de la promotion

Le présent document n'a aucune portée légale
© Gouvernement du Québec, 3^e trimestre 2022

BG 2022-02-C01

Carte du Bulletin géologique : <http://gq.mines.gouv.qc.ca/bulletins-geologiques/>

Pour obtenir les données les plus récentes concernant cette région, nous vous suggérons de consulter les produits géomatiques du système d'information géographique du Québec (SIGÉCM).

Bulletin géologique

SAGÉOM
Système d'information géographique du Québec

Énergie et Ressources naturelles
Québec